

Б 2-16-5844

С 349а  
3-177



+

Зайцев Л.Н. и др.

ОБЪЕДИНЕННЫЙ ИНСТИТУТ ЯДЕРНЫХ ИССЛЕДОВАНИЙ

Б 2-16-5844

ДЕПОНИРОВАННАЯ ПУБЛИКАЦИЯ

Дубна 19 №

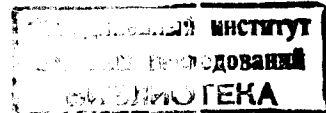
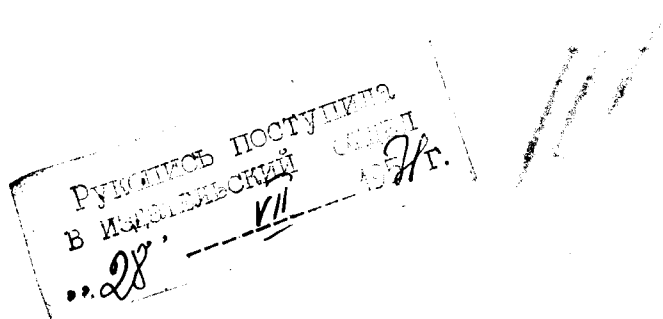
ОБЪЕДИНЕННЫЙ ИНСТИТУТ ЯДЕРНЫХ ИССЛЕДОВАНИЙ  
ЛАБОРАТОРИЯ ВЫСОКИХ ЭНЕРГИЙ

Б2-16-5844  
С349а  
3-177

Л.Н.Зайцев, Л.Р.Кимель, Я.Н.Расцветалов,  
В.П.Сидрин

РАССЕЯННОЕ ИЗЛУЧЕНИЕ СИНХРОФАЗОТРОНА ОИЯИ

С.Р. З235



Дубна 1971 г.

~~без надара~~

~~нр. 281~~

Л.Н.ЗАЙЦЕВ, Л.Р.КИМЕЛЬ, Я.Н.ФАСЦВЕТАЛОВ, В.П.СИДОРИН.

82-16-5844

~~Н~~  
~~и~~  
~~и~~  
РАССЕЯННОЕ ИЗЛУЧЕНИЕ СИНХРОФАЗОТРОНА ОИЯИ

нр. 281

Результаты экспериментальных исследований некоторых характеристик полей излучения вокруг синхрофазотрона на 10 Гэв приведены в работах [1-4]. Измерения были выполнены в режиме сброса ускоренного пучка протонов на "тонкие", внутренние мишени (толщина материала мишени менее одного пробега до ядерного взаимодействия протона с энергией 10 Гэв). В этом случае основная часть ускоренных протонов равномерно рассеивается на стенках вакуумной камеры и создает источник вторичного излучения, распределенный по всему кольцу ускорителя. Такой источник практически определяет радиационную обстановку вокруг ускорителя, так как вклад вторичного излучения, возникающего от взаимодействия ускоренных протонов с тонкими мишениями, незначителен.

Потери ускоренных протонов на толстых мишениях или устройствах для вывода пучка протонов из камеры ускорителя образуют "локальные" источники излучения. В этом случае радиационная обстановка в зале ускорителя и прилегающих к нему помещениях зависит от расположения таких мишеней.

В ближайшем будущем на синхрофазотроне ОИЯИ планируется ввести в эксплуатацию систему медленного вывода протонов. Для моделирования условий радиационной обстановки, которые соответствовали бы действующему формагниту системы вывода протонов, в вакуумную камеру между I и II квадрантами магнита (рис.1) была установлена его модель (без подключения возбуждающих обмоток).

В работе [5] в режиме сброса ускоренных протонов на эту модель получены экспериментальные данные о пространственном распределении вторичных частиц по длине камеры синхрофазотрона.

В данной работе исследовалось пространственное распределение вторичного излучения на различных расстояниях от модели формагнита. Условия эксперимента подробно изложены в работе [5]. На рис. I показаны точки, в которых производились измерения характеристик полей излучения. Для получения данных о пространственном распределении вторичных частиц вблизи септума детекторы устанавливались параллельно траектории движения ускоренных протонов за стальным ярмом магнита (точки I-I6) и по направлению, перпендикулярному к направлению движения протонов (по линии A-A). Точки I7-23 выбраны для определения уровней излучения в экспериментальном зале. Измерения плотности потоков излучения в точках 24-34, удаленных от септума (в области распределенного источника), проведены с целью сравнения с данными работы [3], а измерения в точках 36-51 необходимы для определения выхода через верхнее перекрытие синхрофазотрона излучения различных энергетических групп.

Для регистрации плотностей потоков излучения в указанных точках применялись пороговые детекторы из полистирола и толуола (используемая реакция  $C^{12} \rightarrow C^{11}$ ), фосфора (используемая реакция  $P^{31}(n,p)S^{31}$ ), индия в чехле из кадмия (используемая реакция  $In^{115}(n,\gamma)In^{116m}$ ), а также пропорциональный  $BF_3$ -счетчик с полиэтиленовыми замедлителями [6-7]. Кроме того, для регистрации нейтронов в диапазоне энергий 1-10 Мэв (по протонам отдачи) и с энергией более 130 Мэв (по "звездам" с числом

лучей более двух) использовались ядерные эмульсии толщиной 400 микрон БЯ-2 и БР-2, соответственно.

Плотность потока частиц с энергией более 130 Мэв может быть вычислена по формуле:

$$\Phi(E > 130 \text{ мэв}) = \frac{N \cdot \lambda_{38}(E)}{V \cdot t} \quad \left[ \frac{\text{расм}}{\text{см}^2 \text{ сек}} \right] \quad (I)$$

где  $N$  - число "звезд" в просмотренном объеме эмульсии  
 $V$ ,  $[\text{см}^3]$ ;

$\lambda_{38}(E)$  - средний пробег частицы с энергией  $E$  в ядерной эмульсии до звездообразования, см;

$t$  - время облучения эмульсии, сек.

В таблице I приведены экспериментальные значения среднего пробега протонов и пионов в фотоэмulsionи для интересующего нас интервала энергий 130 Мэв - 10 Гэв, которые показывают, что величина  $\lambda_{38}(E)$  практически не зависит от энергии частиц.

На рис.2 и 3 приведены данные по распределению плотности потоков частиц различных энергетических групп от септума за стальным ярмом магнита и по линии А-А. Следует отметить, что распределение частиц с энергией более 20 Мэв и быстрых нейтронов ( $2 \text{ мэв} < E < 20 \text{ мэв}$ ) по линии А-А (рис.3) можно приблизительно аппроксимировать функцией вида  $1/R^2$ . В формировании полей резонансных нейтронов ( $E \sim 1,44 \text{ эв}$ ) кроме септума участвуют и другие источники излучения и поэтому плотность потока таких нейтронов уменьшается значительно медленнее с увеличением расстояния от септума, чем плотность потока других энергетических групп.

В таблице 2 приведены плотности потоков частиц различных энергетических групп до и за защитной стеной экспериментального зала.

В таблице 3 приведены данные по плотностям потоков частиц в точках измерений, находящихся в помещении синхрофазотрона. Для сравнения в этой таблице приведены данные по потокам излучения, полученным в работе [3], в режиме сброса ускоренных протонов на "тонкие" внутренние мишени. Максимальное расхождение в плотностях потоков излучения в аналогичных точках измерения составляет - 2±3 раза.

Для определения границ санитарно-защитной зоны, за пределами которой уровни излучения соответствуют принятым допустимым значениям [8], необходимо иметь данные о выходе частиц различных энергетических групп с полной поверхности защитных сооружений ускорителя. Наиболее важной с этой точки зрения является информация о выходе быстрых нейтронов и частиц высоких энергий ( $E > 20$  Мэв), пробег до взаимодействия которых в воздухе составляет 90-740 м [35].

На основании анализа экспериментальных данных по плотностям потоков частиц различных энергетических групп на внешней поверхности защитных сооружений синхрофазотрона [I-3] можно считать, что выход частиц из ускорителя в основном обусловлен выходом частиц через верхнее перекрытие площадью приблизительно  $6 \times 10^7 \text{ см}^2$  и толщиною в среднем 20 см бетона.

В табл.4 приведены данные, характеризующие потоки излучения различных энергетических групп на верхнем перекрытии синхрофазотрона ОИЯИ. На рис.4 приведены плотности потоков частиц различных энергетических групп по линии, проходящей через точ-

ки 36-40, которая является проекцией линии А-А на верхнее перекрытие синхрофазотрона.

По результатам измерений, приведенных в таблице 4, выход частиц высоких энергий ( $E > 20$  Мэв) через верхнее перекрытие составляет:

$$Q(E > 20 \text{ мэв}) = 0,3 \left[ \frac{\text{зас}}{\text{сек}} \right] / \left[ \frac{\text{нром}}{\text{сек}} \right]$$

Выход нейтронов с энергией 0,4 эв  $< E < 20$  Мэв через верхнее перекрытие синхрофазотрона на основании данных работы [3] составляет:

$$Q(0,4 \text{ эв} < E < 20 \text{ мэв}) = 0,8 \left[ \frac{\text{зас}}{\text{сек}} \right] / \left[ \frac{\text{нром}}{\text{сек}} \right]$$

В заключение, авторы считают своим приятным долгом выразить благодарность <sup>Б.Манько,</sup> В.Григорьеву, В.Жбанкову, А.Никитину, А.Хвостову, Е.Степанову за помощь при проведении экспериментов.

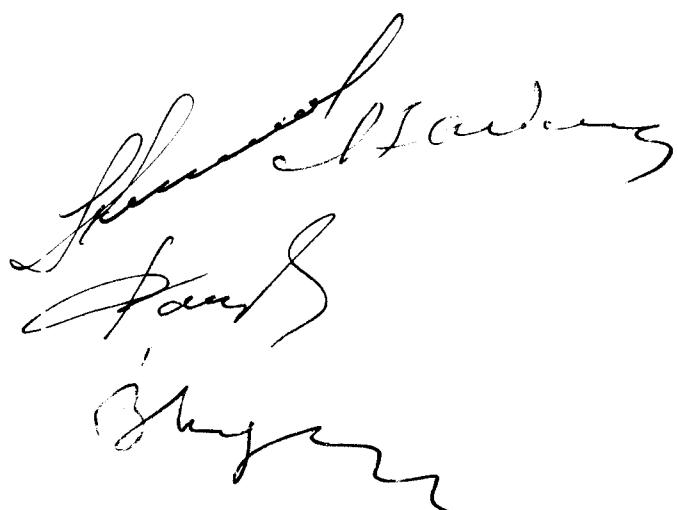


Таблица I.

Экспериментальные значения среднего пробега частиц  
в фотоэмulsionиях до звездообразования

П Р О Т О Н Ы		П И О Н Ы	
Энергия, ГэВ	$\lambda_{\text{зв}}, \text{см}$	Литература	Энергия, ГэВ
0,13	$32,6^{+2,5}_{-2,0}$	[9]	1,0
0,24	$36,1^{+2,6}_{-2,1}$	[10]	$1,5^{+1,0}_{-1,0}$
0,6	$33,7^{+3,0}_{-2,7}$	[11]	$3,0^{+5,0}_{-5,0}$
0,95	$37,0^{+2,3}_{-2,3}$	[12]	$4,2^{+3,5}_{-3,5}$
2,2	$33,0^{+6,0}_{-6,0}$	[13]	$4,3^{+4,7}_{-4,7}$
5,7	$37,6^{+5,3}_{-5,3}$	[14],[15]	$4,5^{+1,2}_{-1,2}$
5,7	$35,6^{+2,4}_{-2,4}$	[16]	$5,7^{+6,0}_{-6,0}$
6,2	$34,7^{+3,4}_{-3,4}$	[17]	$6,8^{+3,0}_{-3,0}$
6,2	$38,2^{+1,5}_{-1,5}$	[18]	$7,5^{+1,0}_{-1,0}$
8,7	$35,0^{+1,3}_{-1,3}$	[19]	$17,2^{+1,1}_{-1,1}$
9	$36,9^{+0,9}_{-0,9}$	[20]	
9	$37,3^{+0,7}_{-0,7}$	[21]	
9	$35,7^{+0,7}_{-0,7}$	[22]	
9	$33,7^{+1,3}_{-1,3}$	[23]	
II	$37,0^{+2,0}_{-2,0}$	[24]	

Таблица 2.

Плотности потоков частиц перед и за защитной стеной экспериментального зала  
 (част/см<sup>2</sup>сек)/(прот/сек) x 10<sup>10</sup>

Точки измерений	Частицы $E > 130$ Мэв <sup>1)</sup>	Частицы с $E > 20$ Мэв <sup>2)</sup>	Нейтроны $1 < E < 10$ Мэв <sup>3)</sup>	Нейтроны $0,1 < E < 20$ Мэв <sup>4)</sup>	Нейтроны $0,4 < E < 1$ Мэв <sup>4)</sup>
I7	$230 \pm 10$	$520 \pm 200$	$900 \pm 200$	-	-
I8	$34 \pm 2,5$	-	$12 \pm 3$	-	-
I9	$250 \pm 30$	-	$800 \pm 200$	-	-
20	-	$4,7 \pm 1,5$	-	$4,0 \pm 1,5$	$7,8 \pm 1,6$
21	-	$5,6 \pm 2,0$	-	$3,0 \pm 1,2$	$9,2 \pm 2,0$
22	-	$6,4 \pm 2,0$	-	$4,0 \pm 1,5$	$8,8 \pm 2,0$
23	-	$6,2 \pm 2,0$	-	$5,5 \pm 1,5$	$8,5 \pm 1,8$

1) вычислено по формуле (I)

2) измерено детектором на основе реакции  $C^{12} \rightarrow C^{14}$

3) измерено ядерными эмульсиями (по протонам отдачи)

4) измерено с помощью пропорционального  $\theta F_3$  -счетчика с замедлителями.

таблица 5.

Плотности потоков частиц в помещении синхрофазотрона  
(част/см<sup>2</sup>сек)/(прот/сек)

Точки измерений (рис. I)	Частицы с $E > 130 \text{ Мэв}$ $\times 10^{10}$	Частицы с $E > 20 \text{ Мэв}$ данные настоящей работы	Частицы с $E > 20 \text{ Мэв}$ данные работы [3]	Нейтроны $I < E \leq 10 \text{ Мэв}$ $\times 10^9$	Нейтроны $0,1 < E \leq 20 \text{ Мэв}$ $\times 10^3$	Резонансные нейтроны $E \sim I, 44 \text{ эв} \times 10^3$
I	$740 \pm 7,5$	$4500 \pm 1000$	-	-	-	$90 \pm 1,5$
24 <sup>4)</sup>	-	$70 \pm 14$	70	-	-	$6,3 \pm 2,0$
25	-	$4,3 \pm 1,0$	13	-	550	$3,0 \pm 1,0$
26	-	$0,87 \pm 0,3$	-	-	1650	$2,5 \pm 0,7$
27 <sup>4)</sup>	$1800 \pm 120$	-	-	-	-	-
28	-	$1,0 \pm 0,4$	-	-	260	$3,0 \pm 1,0$
29	-	-	-	-	-	$6,0 \pm 1,5$
30	$6 \pm 0,4$	-	2,0	$2,8 \pm 0,8$	9,0	-
31	$290 \pm 3,5$	-	5,4	$200 \pm 60$	200	-
32	-	-	-	-	-	$6,0 \pm 2,0$
33	-	$7,3 \pm 1,5$	16,0	-	-	$6,0 \pm 1,5$
34	$4,0 \pm 0,4$	-	-	$2,0 \pm 0,3$	-	-
35	$3700 \pm 170$	$4500 \pm 1000$	-	-	-	-

<sup>1)</sup> вычислено по выражению (1)<sup>2)</sup> Измерено детектором на основе реакции  $C^{12} \rightarrow C''$ <sup>3)</sup> измерено ядерными эмульсиями (по протонам отдачи)<sup>4)</sup> точка находилась на вакуумной камере.

Подписи к рисункам

Рис.1 - Расположение точек измерений: а) в помещении синхрофазотрона; б) на верхнем перекрытии.

Рис.2 - Распределение плотности потоков частиц параллельно траектории движения ускоренных протонов за стальным ярмом магнита (расположение точек измерений см.на рис.1; здесь указаны их проекции на ось вакуумной камеры).



- плотность потока частиц с энергией более 20 Мэв на наружней и внутренней сторонах магнита;



- то же для резонансных нейтронов ( $E \sim 1,44\text{эв}$ ) (плотности потоков умножены на  $10^{-3}$ ).



- плотность потока частиц с энергией более 20 Мэв на верхней части магнита.

Рис.3 - Распределение плотности потоков частиц по направлению, перпендикулярному направлению движения ускоренных протонов.



- плотность потока частиц с энергией более 20 Мэв;



- то же для нейтронов с  $2 < E < 20$  Мэв;



- то же для резонансных нейтронов ( $E \sim 1,44\text{эв}$ ).

Рис.4 - Распределение плотности потока нейтронов на верхнем перекрытии синхрофазотрона (по проекции линии А-А на рис.1).



- плотность потока частиц с энергией более 130 Мэв;



- то же для частиц с энергией более 20 Мэв;

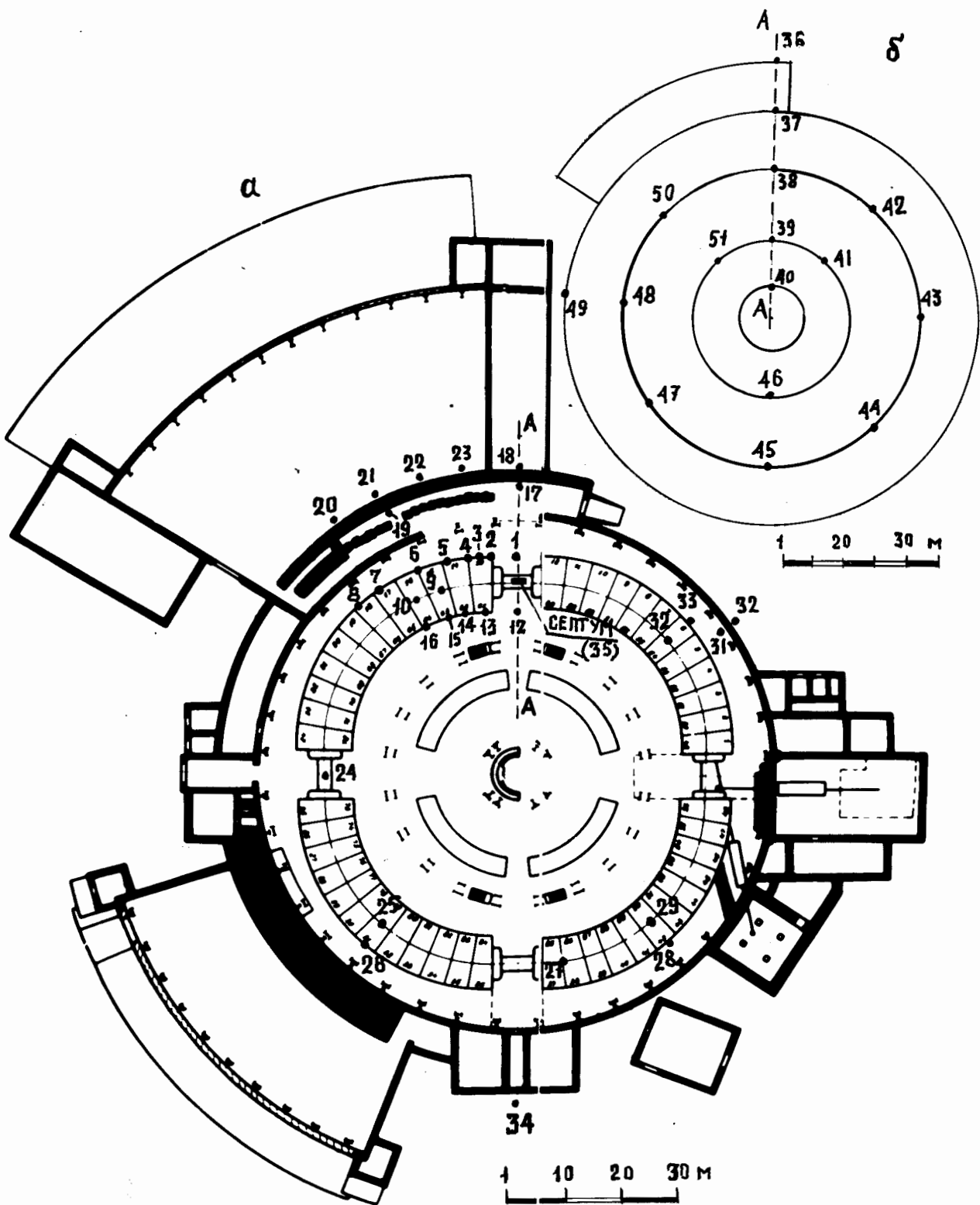


- то же для резонансных нейтронов ( $E \sim 1,44\text{эв}$ ).

Л И Т Е Р А Т У Р А

- I. В.Н.Лебедев и др., Препринт ОИЯИ Р-2177, Дубна, 1965г.
2. Л.С.Золин и др., Препринт ОИЯИ 2251, Дубна, 1965г.
3. В.Н.Лебедев, Препринт ОИЯИ, Р-2446, Дубна, 1965г.
4. М.М.Комочков, В.Н.Лебедев, Препринт Р-2231, 1965г.
5. Л.Н.Зайцев и др. Сообщение ОИЯИ Р16-5697, Дубна, 1971г.
6. Л.С.Золин, Препринт ОИЯИ 2252, Дубна, 1965г.
7. В.Е.Алейников и др., Сообщения ОИЯИ, Р16-4727, Дубна, 1969г.
8. НРБ-69, Атомиздат, М., 1970.
9. C.F. Lees et al. Phil. Mag. 44, 304 (1953)
10. A.M. Perry, Phys. Rev. 85, 497 (1952)
- II. W.O. Lock and P.V. March, Proc. Roy. Soc. A 230, 222 (1955)
12. W.O. Lock et al. Proc. Roy. Soc. A 230, 215 (1955)
13. L.W. Smith et al. Phys. Rev. 92, 851 (1953)
14. R.E. Cavanaugh et al. Phys. Rev., 100, 1263 (1955)
15. M. Schein et al., Nuovo Cim., 31, 131 (1956)
16. V.Y. Rajopadhye, Phil. Mag. 5, 537 (1960)
17. M.V.K. Appa Rao et al., Proc. Ind. Acad. of Sci. 43, 181 (1956)
18. H. Winzeler et. al., Nuovo Cim., 17, 8 (1960)
19. Г.Б.Жданов и др. Ж ЭТФ, 37, 620 (1959).
20. В.А.Кобзев и др. Ж ЭТФ, 41, 747 (1961).
21. Н.П.Богачев и др. Ж ЭТФ, 37, 1225 (1959).
22. Ван-Шу-Фенъ и др. Ж ЭТФ, 39, 957 (1960).
23. Б.П.Банник и др. Ж ЭТФ, 40, 1653 (1961).
24. D.J. Holthuizen et al., Proc. of the 11<sup>th</sup> Intern. Conf. on High Energy Phys., СЕФН 1962, p. 298
25. W.D. Walner et al., Phys. Rev. 104, 526 (1956)
26. J.D. Grew, R.D. Hill, Phys. Rev. 110, 177 (1958)

27. W.D. Walner, J. Grussard, Phys. Rev. 98, 1416 (1955)
28. J.O. Clarne, J.V. Major, Phil. Mag. 2, 37 (1957)
29. A. Marqies et al, Nuovo Cim. 5, 291 (1957)
30. S. Jannell, F. Mezzanarez, Nuovo Cim. 25, 469 (1962)
31. D.J. Holthuizen, B. Jongejans, Nuovo Cim. 14 Suppl 2, 469
32. В.А. Беляков и др. Ж ЭТФ, 39, 937 (1960) (1959)
33. C. Grote et al, Nucl. Phys. 34, 677 (1962)
34. Proceedings of the eleventh Symposium on  
Cosmic Rays Astrophysics, Geophysics and Elementary  
Particle Physics, Univer. of Delhi, October  
7-12, 1969, p 531
35. R. Wallace, Nucl. Inst. and Methods, 18-19, 405 (1962)



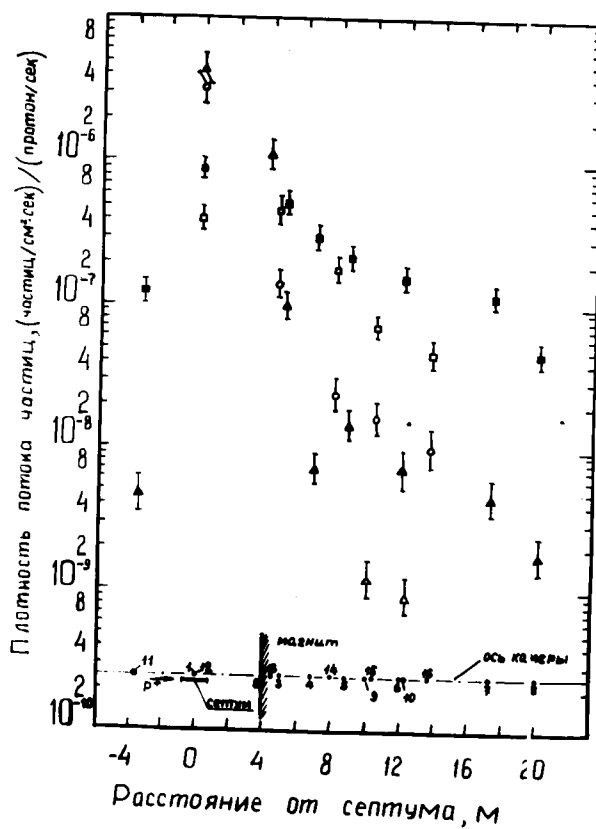
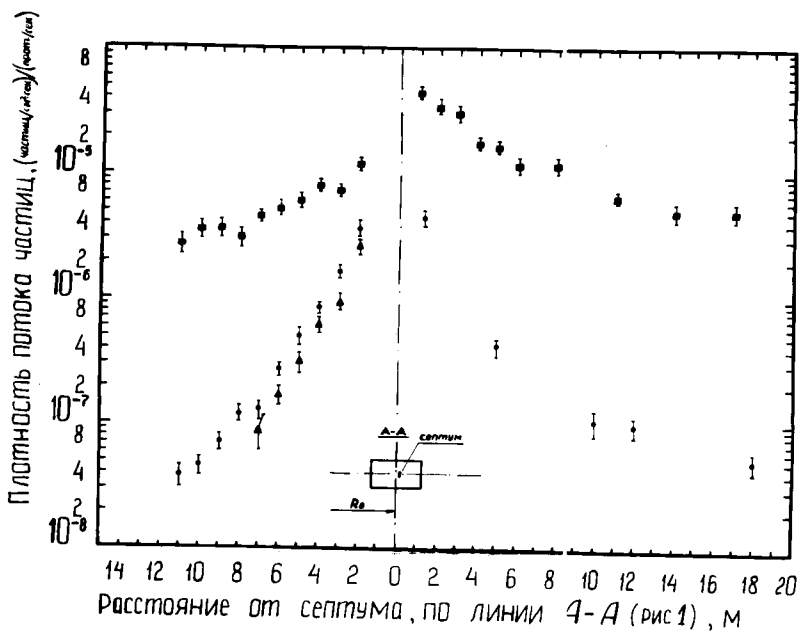


Рис. 2.



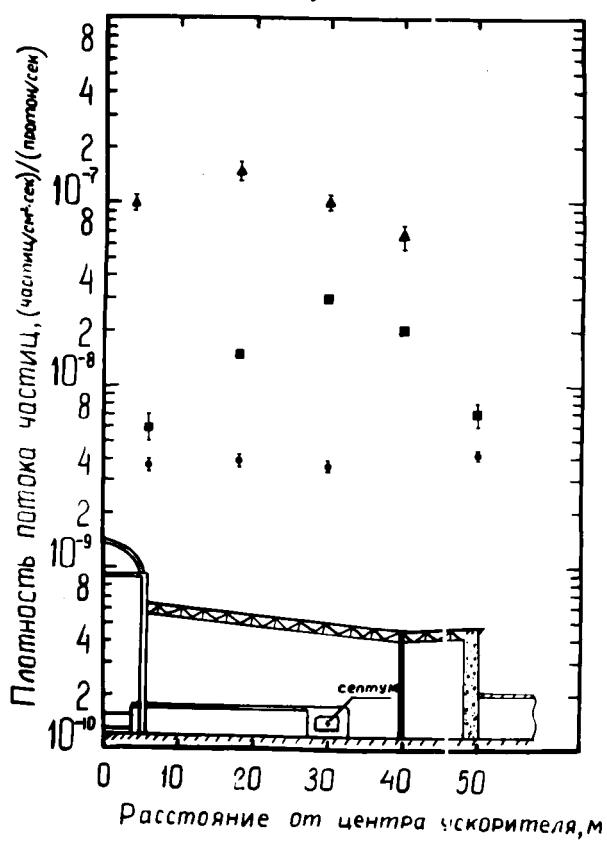


Рис. 4.